

A Drop Anchor Test for Submarine Pipe Line

(Kiyoshi Kawamoto)

:

(1)

(2)

(3)

50

Synopsis :

The purpose of the test is to obtain design data for determining the thickness of buried soil in the sea-bottom and the quality of pipe materials, required to secure the safety of submarine pipe line against possible damages by anchors dropped from ships. The test

海底パイプラインの落錘実験

A Drop Anchor Test for Submarine Pipe Line

河 本 清*

Kiyoshi Kawamoto

Synopsis:

The test was carried out to obtain design data for determining the thickness of buried soil in the

sea-bottom and the quality of pipe materials, required to secure the safety of submarine pipe line against possible damages by anchors dropped from ships.

The test carried out on land in consideration of the evaluation of anchor load and the pipeline laying condition for simulating the sea-bottom condition.

Main results obtained are as follows:

(1) The buried soil has a considerable absorptive capacity against impulse of the anchor, and therefore the inconsistency of the dropping position of the anchor causes a sharp decrease of the

inner earth pressure by drop weight.

(2) The measured value of the circumferential stress of pipe, agrees approximately with the calculated value neglecting the effect of the lateral earth pressure.

し、使用パイプの材質および、埋戻し地盤の表面の補強の有無などを検討し、条件に即応した最良

ンカ荷重の評価方法として、2つの方法を採用した。一つはウインドラスのブレーキーの容量設

の設計を行なわなければならない。この点、石油

計式¹⁾による方法、他の一つは実測による方法で

、パイプライン事業におけるべき地盤の保護其

ある。次の埋設パイプの埋設条件について既存

準にも埋設パイプの土被りの決定は投錐実験によ

しに使用する上砂の土質および表面の保護工の有

本稿の実験は、上記のような重要性から、当初
の荷重試験の生物実験が計画通りが、水深 1.95m

埋戻し土が砂礫であることから砂礫を使用した。
また、地中にエスカムの細胞を注入して性能を絞め

また、Photo. 1 は落錘実験の全景を示す。

$$\beta = \sqrt{\frac{k}{4EI}} \quad (\text{cm}^{-1})$$

実験機器

1. 2. 3. 4. 5. 6. 7. 8. 9. 10. 11. 12. 13. 14. 15. 16. 17. 18. 19. 20. 21. 22.

倉敷市水島川崎通1丁目

106kg/cm² I = 1.592cm⁴ とすれば β = 0.0052

地盤を、GL(-)6.0mまで掘削し、GL(-)5.0mの位置に供試体を設置した。供試

2.3 落錘および落錘の落下高

地盤を、G L (-) 6.0mまで掘削し、G L (-) 5.0mの位置に供試体を設置した。供試

礫層で、その基面の地盤反力係数 $K_{30} = 3.7$

ンカ--18 t を対象とし、これに匹敵する鋼塊を、

使用した (Fig. 3 参照)。また、実験に使用した重錘の落下高さは、対象アンカーの水中自然落下

ある。

また、計算値はウインドラスのブレーキーの容

量算定式¹⁾より求めた。ただし、この式は

中自然落下に置換え、落錘の落下高さを設定した。

アンカーの水中落下速度は、現在、水島港に入港している最大級の船舶である日安丸 (DW 20 万t) のアンカーでの実測値とウインドラスのブレーキーの容量算定式¹⁾により求めた計算値を参考にして推定した。また、実験に使用する落錘の

ず、アンカーの落下高と落下時間との関係は(3) 式で与えられる。

$$H = \frac{1}{l} \log \cosh \sqrt{C \cdot g \cdot l} \cdot T \quad \dots \dots \dots (5)$$

ただし

H : 落下高

C : イーソン常数 (0.00015)

た。

$$T = v/g \quad \dots \dots \dots (3)$$

g : 重力の加速度

v : 落下速度

の損料による係数

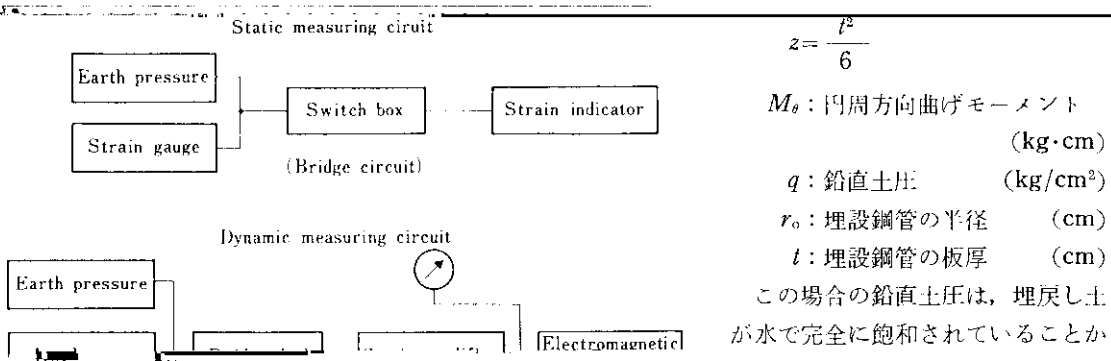
I : 投錨試験より求まる値

したがって落下速度 v は次式となる。

$$v = \frac{dH}{dT} = \frac{\sqrt{C \cdot g \cdot l}}{l} \tanh \sqrt{C \cdot g \cdot l} \cdot T \quad \dots \dots \dots (6)$$

落錘を時間にしては 3 Sec. しかなく

たる落錘の落下点をとば 落下位置は Table 2



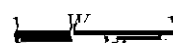
3.2 落錘による管応力

Fig. 8 は落錘の落下高と土中土圧強度の関係を落錘の落下位置からの距離および、地表面からの深さについて測定した結果を表わしたもので、この図から落下位置から離れるにしたがって土圧が

関係は以下のように導かれる。

$$\frac{1}{2} \cdot \frac{W}{g} \cdot v^2 = K \int_0^A x \, dx = \frac{1}{2} K \cdot A^2 \quad (8)$$

ただし W : 落錘重量, A : 貰入量
なお、落錘の衝撃力 $P = K \cdot A$ であるので

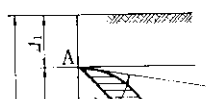


トーテム 小田井かわら 清小太スコアがわかふざ

たとえば、落下位置より 1.0m 離れると土圧は 25 % 程度に低下することになる。なお、セットした 土圧計 4 点のうち -1.0m, -2.7m の 2 点について ては落錘により破損したので、以後の土圧測定は -1.5m, -2.0m の 2 点にて計測を行なった。

となる。

しかし、実際には地盤は完全な弾性体でないの で、落錘が地表面に衝突し、地盤に貰入するとき の挙動は一元的な弾性変形によるものと決め難い。特に、本実験のように地盤がルーズである場 合は、落錘により地盤の主層部がまず胡乱に破壊す



の加速度と貫入量の関係を表わしたものである。
いま、地盤を完全な弾性体と仮定すると

$$\cdots \quad 1 \cdots 1 \cdots 1 \cdots W$$

$$K_o = \tan \theta_o \\ \text{coefficient of soil reaction}$$

$$K_r = \tan \alpha_r$$

となる。

したがって落錘の加速度 α と貫入量 A との関

α_A : Plastic failure

落錘の加速度の限界値 α_A は、図中の曲線の上端に相当する。



向応力を計算した値である。測定値は落錐の落下高 2.0m の場合を除き比較的計算値に合致する結果となった。落錐の落下高が大きくなるにしたが

曲げモーメントを求め、次のように重ね合せ、全體の曲げモーメントを求める。

$$\Sigma M_i = \frac{P_1}{4\beta} \cdot \Sigma \phi_i \quad \dots \dots \dots \quad (14)$$

したがって軸方向応力 σ_a は

$$\begin{aligned} \sigma_a &= -\frac{\Sigma M_i}{Z} \\ &= -\frac{1.5P_1}{Z} \cdot \Sigma \phi_i \quad \dots \dots \dots \quad (15) \end{aligned}$$

4. まとめ

本実験の成果をまとめ要点をあげると次のとおりである。

- 1) 埋戻し土による土圧は浮力を差し引いた埋戻し土の重量に等しいとしてよい。
- 2) 地盤の衝撃力の吸収性は非常に高く、落下方より 1.0m 離れると土中土圧は約 25% に低下する。

鹿島建設㈱の関係諸氏に深く感謝いたします。

参考文献

- 1) 中山亘, 金井寅: ウィンドラスのブレーキー容量決定の一考察, 船舶技術, (1969), 58
- 2) S. Timoshenko: 材料力学下巻, 1

